

случаев, очевидно, $R_1 = R_0(T_1/T_\infty)^{1/3}$. Из рис. 4 видно, что конечные профили температуры для $p_\infty R_0 = 10^4$ и 10^5 Па·м близки к профилю для изохоро-адиабатического режима энерговыделения, а для $p_\infty R_0 = 10^3$ Па·м — к зависимости для изобарического режима энерговыделения.

Таким образом, проведенные расчеты показали существенное влияние неравновесности энерговыделения (при $p_\infty R_0 \leq 10^4$ Па·м) и длительности накачки на характер течения газа. Определены интенсивности образующихся УВ в зависимости от расстояния до центра области энерговыделения при типичных значениях удельного энерговклада в условиях импульсного электрического разряда.

ЛИТЕРАТУРА

1. Седов Л. И. Методы подобия и размерности в механике.— М.: Наука, 1981.
2. Коробейников В. П. Задачи теории точечного взрыва.— М.: Наука, 1985.
3. Андреева Т. Е., Грицинин С. И., Коссый И. А. и др. Релаксация колебательно-возбужденного азота с учетом газодинамических явлений // Краткие сообщ. по физике.— 1983.— № 7.
4. Гасилов В. А., Карпов В. Я., Круковский А. Ю. и др. Расчет развития осесимметричного теплового взрыва в молекулярном газе.— М., 1984.— (Препр./ИВТАН; № 5—138).
5. Вихарев А. Л., Гитлин М. С., Иванов О. А. и др. Нагрев азота в импульсном СВЧ-разряде в условиях интенсивного возбуждения электронных уровней молекул // Письма в ЖТФ.— 1987.— Т. 13, № 4.
6. Мнацаканян А. Х., Найдис Г. В. Баланс колебательной энергии в разрядах в воздухе // ТВТ.— 1985.— Т. 23, № 4.
7. Самарский А. А., Попов Ю. П. Разностные методы решения задач газовой динамики.— М.: Наука, 1980.
8. Honma H., Glass I. I. Weak spherical shock-wave transitions of N-waves in air with vibrational excitation // Proc. Roy. Soc. London.— 1984.— V. A391, N 1800.
9. Зельдович Я. Б., Райзер Ю. П. Физика ударных волн и высокотемпературных гидродинамических явлений.— М.: Наука, 1966.

г. Москва

Поступила 4/VIII 1988 г.

УДК 533.6.011.72:534.222.2

M. K. Березкина, И. В. Смирнов, М. П. Сыщиков

ФОРМИРОВАНИЕ УДАРНЫХ ВОЛН ВЗРЫВНОГО ПРОФИЛЯ В УДАРНОЙ ТРУБЕ

Плоскую ударную волну (УВ) с переменным профилем давления за фронтом можно получить в диафрагменной ударной трубе постоянного сечения на расстоянии дугона фронта УВ волной разрежения (ВР), отраженной от торца камеры высокого давления (КВД).

В [1] на основе численного моделирования течения, возникающего при взрыве слоя, которое можно представить как течение, реализуемое в ударной трубе при мгновенном удалении диафрагмы, показано, что имеются такие значения определяющих параметров, при которых давление на фронте УВ в момент дугона головой ВР оказывается близким к давлению на фронте УВ при точечном плоском взрыве. Дальнейшие изменения давления на фронте УВ также близки к зависимости давления на фронте УВ с расстоянием для точечного взрыва. При других значениях определяющих параметров давление на фронте УВ в момент дугона ВР меньше давления точечного взрыва и приближение к закономерности точечного взрыва происходит на расстоянии, превышающем расстояние дугона.

В настоящее время модель точечного взрыва наиболее изучена [2] и во многих случаях хорошо описывает задачи реальных взрывов. Обнаруженная при численном моделировании [1] взаимосвязь параметров УВ, формирующихся в ударной трубе после дугона ВР с параметрами УВ при точечном взрыве, заслуживает внимания. Возникает возможность использования подобного рода установок для моделирования процессов взаимодействия взрывных волн с телами.

Экспериментальное исследование течения в ударной трубе постоянного сечения проводилось, как правило, либо на участке, где скорость фронта УВ возрастает из-за немгновенности разрыва диафрагмы [3, 4], либо на участке, где скорость фронта почти не меняется, а параметры газа за фронтом постоянны [4, 5]. Исследования течения на более поздних стадиях, где голова ВР, отраженная от торца КВД, догоняет фронт УВ, практически отсутствуют [6].

В данной работе на основе численного и физического моделирования рассмотрены закономерности формирования и распространения плоских УВ с переменным профилем давления в ударной трубе. Проведено сравнение с расчетами, сделанными по идеальной теории ударной трубы и для модели точечного взрыва.

1. Определяющие параметры. На рис. 1 показаны диаграмма течения, возникающего в ударной трубе при мгновенном удалении диафрагмы, и распределение давления в пространстве для трех характерных моментов времени. В момент времени 1 давление за фронтом УВ в двух областях, разделенных контактным разрывом (KP_1), постоянно и плавно возрастает в ВР до максимального значения на стенке. В последующие моменты времени основные изменения в течении связаны с распространением по каналу отраженной от торца КВД головы ВР₁ и ее взаимодействием с хвостом (X) в точке O_2 , с КР в точке O_3 и с фронтом первоначальной УВ в точке O_4 . При взаимодействии ВР₂ с КР в точке O_3 образуется проходящая ВР₃ и отраженная волна A_3 , которая может быть либо ВР, либо УВ, формирующейся из волн сжатия. Скорость КР после взаимодействия с ВР₂ начинает уменьшаться и в пределе, когда давление на КР становится соизмеримым с начальным, оказывается равной нулю. С момента дугона первоначальной УВ волной разрежения давление за фронтом перестает быть постоянным, а на границе раздела двух газов КР₃ (момент времени 3) кривая давления терпит излом.

Газодинамические параметры потока в ударной трубе являются функциями пространственной R и временной T переменных, а также начальных параметров p_d , a_d , k , γ_0 (p_d и a_d — начальное отношение давлений на диафрагме и отношение скоростей звука в КВД и канале низкого давления (КНД), k и γ_0 — показатели адиабаты в КВД и КНД). В качестве масштабов для пространственной и временной переменных задаются $R^0 = r'_d$, $T^0 = r'_d \sqrt{\gamma_0/a_0}$ (r'_d — длина КВД, a_0 — начальная скорость звука в КНД).

При сопоставлении течения в ударной трубе с течением, возникающим при точечном взрыве, удобно пользоваться другой системой определяющих параметров: r_d , a_d , k , γ_0 (r_d — безразмерная длина КВД). В этом случае в качестве пространственного r^0 и временного t^0 масштабов, как и в теории точечного взрыва, задаем

$$r^0 = \frac{E_0}{p_0 \alpha^0} - \frac{2p_d r'_d}{(k-1)\alpha^0}, \quad t^0 = \frac{r^0 \sqrt{\gamma_0}}{a_0},$$

где E_0 — энергия сжатого газа в КВД (или энергия взрыва); α^0 — автомодельная постоянная, зависящая от γ_0 среды и симметрии движения [2], при $\gamma_0 = 1,4$ $\alpha^0 = 1,077$; p_0 — начальное давление в КНД. Безразмерная длина КВД оказывается в этих переменных равной

$$r_d = \frac{r'_d}{r^0} = \frac{(k-1)}{2p_d} \alpha^0,$$

а связь между физическими R , T и динамическими r , t переменными определяется соотношениями $r = r_d R$, $t = r_d T$.

2. Методика эксперимента.

Эксперименты проведены в ударной трубе прямоугольного поперечного сечения 50×150 мм. Общая длина установки 12 м. КНД длиной 9 м состоит из отдельных стальных секций, КВД

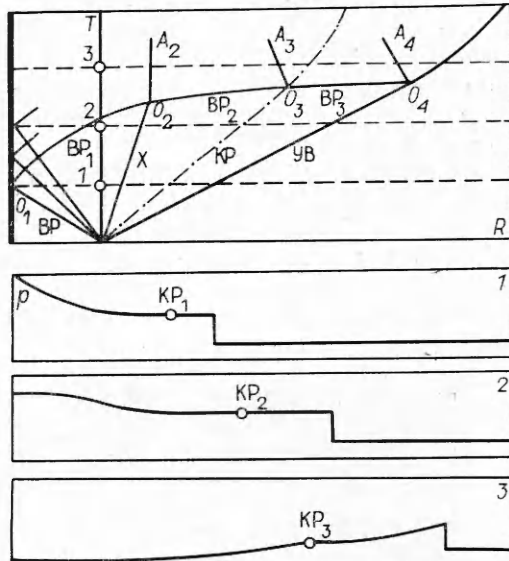


Рис. 1

сменные и имеют длину 85 мм, 1 и 2 м. В качестве разделительных диафрагм применялась медная лента толщиной 0,15; 0,25 и 0,4 мм. Принудительный надрез диафрагм осуществлялся специальным ножом.

Реальное течение в ударной трубе исследовалось в зависимости от начальных параметров: p_d , a_d , k и γ_0 . Основные измеряемые величины — скорость фронта УВ и профиль давления за ним — регистрировались в фиксированном сечении канала при разных длинах КВД. Безразмерное расстояние сечения наблюдения от торца КВД равнялось 4,6; 8 и 101 при $r'_d = 2$; 1 м и 85 мм. Канал заполнялся азотом, а КВД — азотом или водородом. При использовании в качестве толкающего газа азота $a_d = 1$, а водорода — $a_d = 3,73$. Для всех экспериментов $k = \gamma_0 = 1,4$.

Скорость фронта УВ определялась базовым методом. Ошибка в нахождении числа Маха фронта УВ M_ϕ не превышала 1 %. Для измерения импульсных давлений за фронтами УВ, распространяющихся по каналу, использовались пьезодатчики с защитным температурным покрытием, разработанные Г. Н. Сунцовым [7]. Регистрация сигналов от пьезодатчиков производилась на запоминающем осциллографе С8-17 через эмиттерный повторитель с полевым транзистором [8]. Коэффициент чувствительности пьезодатчика при собственной емкости 910 pF 3 мкВ/Па, период наблюдаемого шума 3,3 мкс. Динамическая погрешность пьезодатчика (отношение половины амплитуды шума к амплитуде сигнала) зависит от соотношения n между временем прохождения УВ мимо приемной поверхности и периодом наблюдаемых шумов [9]. Динамическая погрешность при $n \sim 2$ составляет 10 %, с уменьшением n она сильно возрастает. Постоянная времени системы регистрации позволяет проводить наблюдения нестационарного давления без искажений в течение 10 мс.

3. Результаты эксперимента. Характер изменения давления во времени за фронтом УВ в горячей и холодной зонах потока существенным образом зависит от соотношения $R = R'/r'_d$ (R' — размерное расстояние от торца КВД до измерительного сечения). На рис. 2 приведены типичные осциллограммы давления, полученные при одних и тех же условиях на диафрагме $p_d = 930$ и $a_d = 3,73$, при этом $R = 4,6; 8; 101$ (*a—e*), $M_\phi = 6,20; 6,26; 3,51$. При малых значениях R (рис. 2, *a, b*) давление сразу за фронтом в течение некоторого времени постоянно. С приходом хвоста ВР начинается рост давления в холодной зоне потока, который прекращается с появлением в рабочем сечении отраженной головы ВР. Пиковое давление, наблюдаемое в холодной зоне потока, уменьшается с ростом R . Характер изменения давления при больших R показан на рис. 2, *e*. В этом случае к моменту прихода УВ в рабочее сечение ее интенсивность падает до $M_\phi = 3,51$, а давление за фронтом непрерывно понижается. Приведем результаты измерения давления за фронтом УВ в зависимости от p_d для $a_d = 3,73$ при $R \leq R_s$ и $R \gg R_s$ (R_s — безразмерная координата дуги ВР фронта УВ).

Профили давления за фронтом УВ при $R = 4,6$ и 8 ($R \approx R_s$) показаны соответственно на рис. 3, *a* и *b*. Здесь $\bar{P} = p/p_\phi$ (p_ϕ и p — давление на фронте и текущее давление за ним). Время ΔT отсчитывается с момента прихода УВ в рабочее сечение. Линии 1'-4' — профили давления, измеренные в эксперименте, 1—4 — рассчитанные по идеальной теории ударной трубы. Начальные условия для эксперимента и расчета на рис. 3 представлены в таблице. Здесь же приведены рассчитанные по начальным

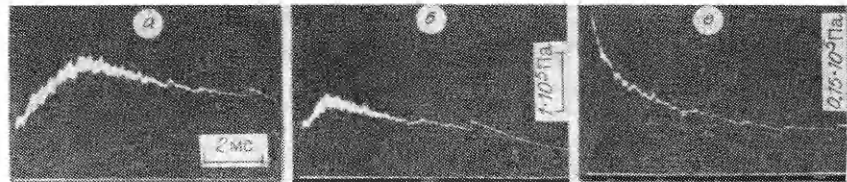


Рис. 2

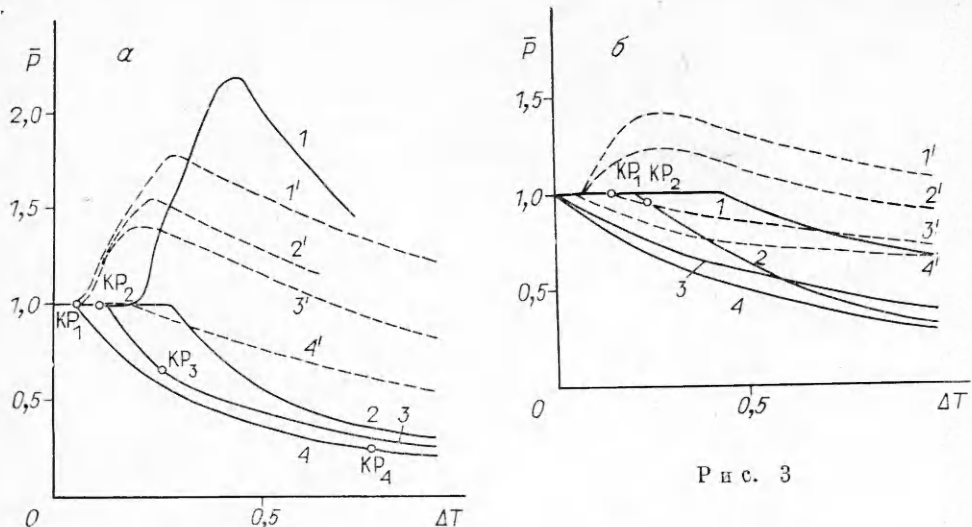


Рис. 3

условиям параметры фронта M_{ϕ_0} и p_{ϕ_0} , а также измеренные M_{ϕ} , p_{ϕ} . При сравнении эксперимента и расчета обнаруживается сильное расхождение изменения давления в холодной зоне потока. Сопоставим два профиля давления $2'$ и 2 на рис. 3, α при близком значении $p_d \sim 360$ на расстоянии $R = 4,6$. В эксперименте (профиль $2'$) первым в данное сечение приходит хвост ВР, после чего регистрируется рост давления. С приходом отраженной головы ВР давление начинает падать. В расчете (профиль 2) рост давления отсутствует, наблюдается только его уменьшение, так как первой в данное сечение приходит отраженная голова ВР.

Наши эксперименты и результаты [10] показывают, что измеренное время появления головы ВР в фиксированном сечении, после того как здесь проходит падающая УВ, неплохо согласуется с рассчитанным по идеальной теории ударной трубы. В литературе отсутствуют какие-либо сведения по времени появления хвоста ВР. В настоящей работе регистрируется сильное расхождение между расчетом и экспериментом во времени появления хвоста в фиксированном сечении. Хвост приходит гораздо раньше, чем это предсказывает теория. Причем время его появления почти не зависит от M_{ϕ} падающей УВ, тогда как время появления головы увеличивается с ростом M_{ϕ} . Значение максимального давления \bar{P}_m , наблюдавшегося в эксперименте в холодной зоне потока, тоже растет с увеличением M_{ϕ} .

На рис. 4 показаны зависимости $\bar{P}_m = p_m/p_{\phi}$ от M_{ϕ} , измеряемого в фиксированном сечении, причем точки, соединенные штриховыми линиями

№ п/п	p_d	M_{ϕ_0}	p_{ϕ_0}	M_{ϕ}	p_{ϕ}	№ п/п	p_d	M_{ϕ_0}	p_{ϕ_0}	R
Эксперимент					Расчет					
<i>При $R = 4,6$</i>										
1'	498	6,48	48,77	5,38	33,7	1	3200	9,0	94,29	4
2'	372	6,09	43,09	5,10	30,2	2	350	6,0	41,81	4,6
3'	220	5,42	34,09	4,49	23,3	3	55	3,8	16,68	4,6
4'	73	4,1	19,44	3,45	13,7	4	25	3,0	10,33	4,6
<i>При $R = 8$</i>										
1'	938	7,32	62,36	6,26	45,6	1	3200	9,0	94,29	8
2'	500	6,48	48,86	5,51	35,2	2	350	6,0	41,81	8
3'	300	5,81	39,22	5,11	30,3	3	55	3,6	14,96	8
4'	220	5,42	34,09	4,62	24,7	4	25	2,6	7,72	8

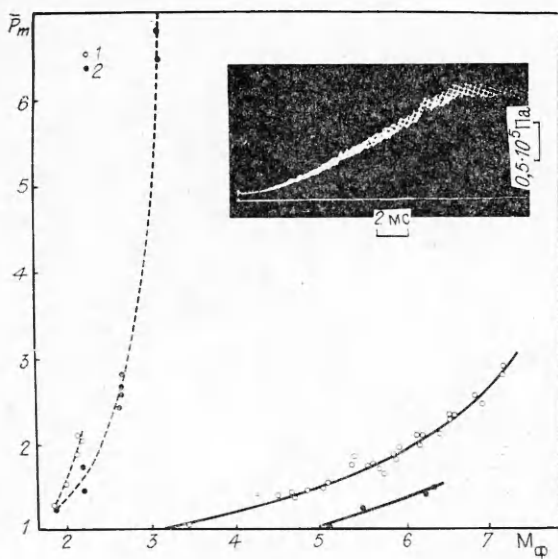


Рис. 4

зумеем в эксперименте. На рис. 4 приведена осциллограмма давления для $R = 4,6$ при $a_d = 1$, $M_\Phi = 3,1$, $P_\Phi = 11,1$. Максимальное давление превышает давление на фронте в 12 раз. При проведении исследований на ударных трубах необходимо выбирать условия эксперимента таким образом, чтобы в рабочем сечении повышения давления в потоке были минимальны.

Результаты измерения давления во времени за фронтом УВ при $R \gg R_S$ показаны на рис. 5 ($a - M_\Phi = 5,19$, $p_\Phi = 31,3$, $b - M_\Phi = 4,16$, $p_\Phi = 20,0$, $c - M_\Phi = 3,51$, $p_\Phi = 14,2$, $d - M_\Phi = 2,62$, $p_\Phi = 7,8$, $e - M_\Phi = 2,13$, $p_\Phi = 5,1$, $f - M_\Phi = 1,52$, $p_\Phi = 2,53$). В этой серии экспериментов $r_d = 85$ мм, $R' = 8,6$ м, что соответствовало $R = 101$. Приведенные данные демонстрируют возможность получения УВ переменного профиля в ударной трубе со спадом давления в зоне до 50–70 %. В некоторых режимах в эксперименте регистрируется вторая УВ (d , e), движущаяся по каналу со стороны КВД в потоке за первоначальной УВ. Направленность распространения второй УВ определена по показаниям двух близко расположенных пьезодатчиков давления. Вторая волна появляется в рабочем сечении тем быстрее, чем меньше интенсивность первоначальной УВ.

На рис. 6 показано сопоставление профиля давления, полученного в ударной трубе (штриховая линия, $p_\Phi = 6,38$), с рассчитанным по идеальной теории ударной трубы (сплошная кри-

ми, получены при $a_d = 1$, а сплошными — при $a_d = 3,73$ ($1 - r'_d = 2$ м и $R = 4,6$; $2 - r'_d = 1$ м и $R = 8$). По приведенному графику можно определить M^*_Φ , при котором в фиксированное сечение одновременно приходят хвост и голова ВР ($\bar{P}_m = 1$). Для $a_d = 3,73$ $M^*_\Phi \sim 3,2$ в сечении $R = 4,6$ и $M^*_\Phi \sim 5$ в сечении $R = 8$. Тогда при $M_\Phi < M^*_\Phi$ в рабочем сечении отсутствует рост давления в холодной зоне потока по сравнению с давлением на фронте УВ, а при $M_\Phi > M^*_\Phi$ его рост наблюдается. Сильно повышается давление в холодной зоне потока при M_Φ , близких к предельно реали-

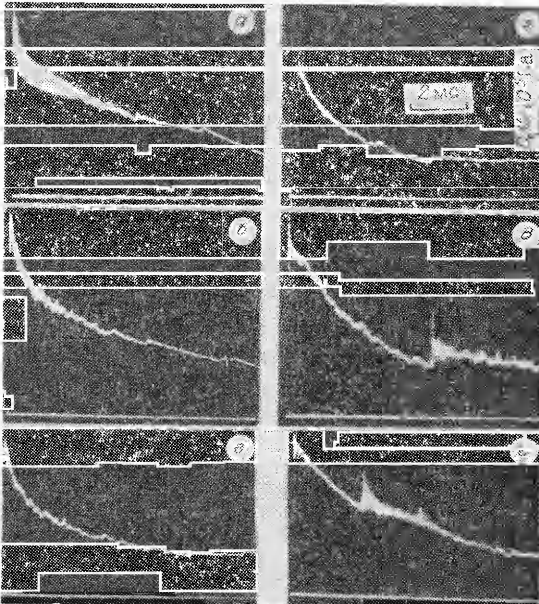


Рис. 5

вая, $p_{\phi} = 6,54$). Профиль давления, измеренный в эксперименте, достаточно хорошо согласуется с теоретически рассчитанным. Основное отличие теории и эксперимента в том, что в реальном потоке ударной трубы наблюдается вторая УВ, причина образования которой пока не выяснена. Сравним параметры УВ, генерируемых в ударной трубе, с параметрами УВ точечного взрыва в однородной атмосфере.

На рис. 7 приведено изменение давления p_{ϕ} на фронте УВ с расстоянием r , измеряемым от торца КВД (или от центра взрыва). Здесь 1—3 — расчет $p_{\phi d}$ при $r = r_d$, а 1', 2' — расчет $p_{\phi s}$ при $r = r_s$ (r_s — безразмерная координата дугона волнной разрежения фронта УВ). Расчет проводился по идеальной теории ударной трубы при $k = \gamma_0 = 1,4$ для всех возможных p_d , вычисление 1, 1', 2, 2' и 3 — по аналитическим формулам [11] при $a_d = 1; 3,73$ и ∞ . Кривая 4 — расчет p_{ϕ} с расстоянием от центра взрыва при плоском точечном взрыве ($\gamma_0 = 1,4$) [2]. Зависимости 1, 2 дают значения давления на фронте УВ на начальном участке для заданного отношения скоростей звука в канале и камере в зависимости от перепада давлений на диафрагме p_d . Поскольку при $a_d \rightarrow \infty$ $p_{\phi d} = p_d$ для любого r_d , линия 3 дает связь между p_d и r_d . Точками I и II нанесены значения $p_{\phi d}$ при $r = r_d$ для $k = \gamma_0 = 1,4$, $a_d = 1$ и $3,73$ соответственно, точками III — давления на фронте УВ на участке дугона ($r > r_s$) при $k = \gamma_0 = 1,4$, $a_d = 3,73$ для разных p_d . Закономерность изменения давления на фронтах УВ, генерируемых в ударной трубе (точки III), с расстоянием близка к закономерности, даваемой точечным взрывом. Абсолютные значения давления на фронте УВ отличаются от рассчитанных на величину такого порядка, как и на начальном участке, где давление за фронтом постоянно (точки II).

Таким образом, в соответствии с данными численного моделирования в реальной ударной трубе при определенных начальных условиях на расстоянии $R \sim 100$ формируются УВ, динамика которых хорошо описывается решением задачи о точечном взрыве в среде с противодавлением. Экспериментально получены УВ взрывного профиля разной интенсивности, M_{ϕ} , которых изменялись в диапазоне 1,5 — 5,2 для $a_d = 3,73$ при $p_d = 63$ —2400.

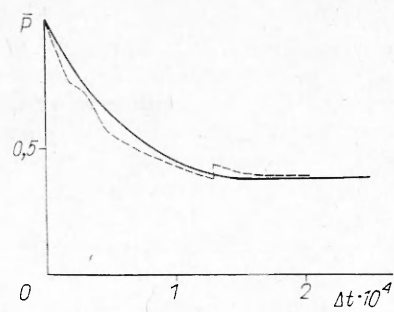


Рис. 6

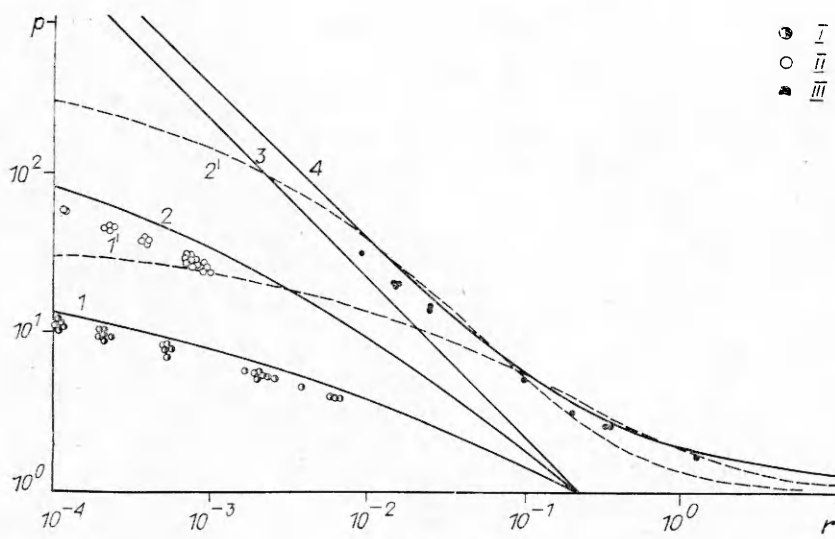


Рис. 7

На расстоянии $R \sim 1-10$ обнаружено значительное превышение экспериментально измеренного в холодной зоне давления над теоретически рассчитанным, что связано с более быстрым, чем в теории, приходом хвоста ВР. Известно, что измеренные экспериментально такие параметры, как M_ϕ и длительность горячей зоны течения, всегда меньше рассчитанных. Обнаруженное обратное соотношение между экспериментом и теорией для давления в холодной зоне потока указывает на то, что энергия, запасенная в КВД, передается УВ менее эффективно, чем это предсказывает идеальная теория ударной трубы. Наблюдаемое превышение давления в холодной зоне потока над рассчитанным, по всей видимости, обусловлено немгновенностью раскрытия диафрагмы.

ЛИТЕРАТУРА

1. Назаров Е. В., Сыщикова М. П. Особенности динамики ударной волны при взрыве слоя.— Л., 1987.— (Препр./ФТИ АН СССР; № 1100).
2. Кестенбойм Х. С., Росляков Г. С., Чудов Л. А. Точечный взрыв.— М.: Наука, 1974.
3. Штеменко Л. С. Возникновение ударных волн в ударной трубе в процессе раскрытия диафрагмы // Вестн. МГУ. Сер. 3. Физика, астрономия.— 1982.— Т. 23, № 3.
4. Гласс И., Паттерсон Г. Теоретическое и экспериментальное исследование потоков в ударной трубе // Ударные трубы/Под ред. Х. А. Рахматуллина, С. С. Семенова.— М.: ИЛ, 1962.
5. Баженова Т. В., Гвоздева Л. Г. Нестационарные взаимодействия ударных волн.— М.: Наука, 1977.
6. Медведев С. П., Поленов А. Н., Гельфанд Б. Е., Цыганов С. А. Воздушные УВ при внезапном расширении сжатой двухфазной среды насыпной плотности // ФГВ.— 1987.— № 4.
7. Сунцов Г. Н. Пьезоэлектрический датчик давления.— М., 1982.— (Информ. листок о науч.-техн. достижении/ВИМ; № 82-0281).
8. Загорский Я. Т. Измерительные усилители на транзисторах.— М.: Энергия, 1971.
9. Березкина М. К., Плотников И. В. Применение сульфат-литиевого преобразователя импульсного давления в газодинамическом эксперименте //ФГВ.— 1982.— № 6.
10. Холдер Д., Шульц Д. Время работы и параметры потока гиперзвуковой ударной трубы // Исследование гиперзвуковых течений/Под ред. Ф. Р. Риддела.— М.: Мир, 1964.
11. Станюкович К. П. Неустановившиеся движения сплошной среды.— М.: Наука, 1971.

г. Ленинград

Поступила 15/VII 1988 г.

УДК 533.6.011.72

Э. И. Андрианкин, Н. Н. Мягков, В. В. Филимонов

ЦИЛИНДРИЧЕСКИЙ ДВОЙНОЙ ВЗРЫВ

Задачи о двойном точечном взрыве в газе, которые рассматривались в [1, 2], являются важным фрагментом в проблеме управления взрывом. Решение здесь зависит от двух параметров управления: отношения энергий взрывов $\lambda = E_2^0/E_1^0$ и времени задержки между взрывами t_0 . В [1] изучен сильный двойной взрыв без учета противодавления окружающей атмосферы. В [2] численно исследовалась задача о двойном точечном взрыве в сферически-симметричной постановке в широком диапазоне изменения давления — от сильной стадии до квазиакустической асимптотики — и изучены особенности поведения решения в зависимости от безразмерной задержки t_0 при фиксированном значении параметра $\lambda = 1$.

В настоящей работе результаты [2] обобщаются на цилиндрический двойной взрыв, а также исследуется зависимость решения от параметра λ при фиксированном значении задержки между взрывами t_0' и фиксированной суммарной энергии взрывов $E_1^0 + E_2^0 = \text{const}$.

Рассмотрим цилиндрический двойной взрыв в газе с противодавлением p_0 и плотностью ρ_0 . Взрывы соответствуют мгновенному выделению энергии с постоянными линейными плотностями E_1^0 и E_2^0 вдоль одной и той же оси $r = 0$. Первый взрыв происходит в момент времени $t = -t_0$, второй — в момент времени $t = 0$. Вязкость и теплопроводность не учитываются. Течение газа за ударными разрывами адиабатическое, подчи-